

## TAVUKLarda PLEXUS SACRALIS İLE BUNU OLUŞTURAN RAMUS VENTRALİS'LERİN MAKRO-ANATOMİK VE SUBGROS İNCELENMESİ

Ayşe SERBEST\* Ali BAHADIR\*\* Bahri YILDIZ\* Osman YILMAZ\*

### ÖZET

Bu çalışmada 14 tavuk plexus sacralis'i ile bunu oluşturan ramus ventralis'ler makro-anatomik ve subgros yönünden incelenmiştir. % 10 formol solüsyonunda tespit edilmiş sinirlerden 2-3 mm kalınlığında enine kesitler alınmıştır. Bu kesitler çini mürekkebi ile boyandıktan sonra stereomikroskopta incelenmiştir. Bunlara ait çeşitli ölçüler ile birlikte başlıca şu özellikler tespit edilmiştir:

1- Tavuklarda plexus sacralis 26.-30. spinal sinirlerin ventral kollarından olmaktadır.

2- Ramus ventralis'ler ile bunların oluşturdukları birleşmeler birer sinir demetinden meydana gelmektedir.

3- En büyük demet çapına  $S_2$  ile  $S_3$ , en küçük demet çapına da  $S_5$  sahiptir.  $S_1$  ile  $S_4$ 'ün demet çapları da bunların ortası düzeyindedir.

4-  $n. tibialis$  ile  $n. fibularis$  birer büyük sinir demetinden meydana gelir.

5- Uyluğun caudal'ine giden sinir kolları plexus'un distal'ine doğru olusurlar. Bunlara ait sinir demetleri plexus'un caudal ve caudolateral'inde bulunur.

### SUMMARY

#### Macro-Anatomic and Subgross Investigations on the Sacral Plexus and the Ventral Rami Formed it in the Chicken

In this study, the sacral plexus and ventral rami formed it from 14 chicken were macro-anatomic and subgrossly examined. The dissected nerves from the animals were fixed in 10 % formaldehyde solution and cross-sectioned in 2-3 mm thickness. They were examined by stereomicroscope after painting with india ink and several measurements were also obtained.

\* Öğr. Gör. Dr.; U.Ü. Veteriner Fakültesi, Anatomi Bilim Dalı, Bursa / TÜRKİYE.

\*\* Doç. Dr.; U.Ü. Veteriner Fakültesi, Anatomi Bilim Dalı, Bursa / TÜRKİYE.

*The results could be summarised as follows:*

- 1- *The sacral plexus of the chicken were formed by the ventral branches of spinal nerves 26 to 30.*
- 2- *The ventral rami and the units formed by them consist of a nerves fasciculus one each.*

3- *S<sub>2</sub> and S<sub>3</sub> have the biggest diameters and S<sub>5</sub> has the smalles diameters and S<sub>1</sub> and S<sub>4</sub> vary between values.*

4- *Tibial and fibular nerves consist of a large nerves fasciculus one each.*

5- *The nervi branches gone to caudal part of thigh arise from distal part of the plexus. The nervi fasciculi formed the branches have located in caudal and caudolateral parts of the plexus.*

*Key words: Chicken, plexus sacralis, rami ventrales, nervi fasciculi.*

## GİRİŞ

Canlılarda merkezi sinir sistemi ile periferik organlar arasındaki ilişkiyi periferik sinirler sağlarlar<sup>1</sup>. Periferik sinirler birbirine paralel çok sayıdaki sinir tellerini taşıyan sinir demetlerinin bir araya toplanmasından ve bağ dokudan oluşur. Bir periferik siniri meydana getirmek üzere sinir telleri bir araya gelerek demetler oluştururlar. Demetler (fasciculus'lar ya da fasciculi) perineurium denilen bağ dokudan bir kılıf ile sarılmıştır. Bu demeti oluşturan sinir telleri arasında bağ doku bölmeleri bulunur. Perineurium'dan ayrılan ve tek bir sinir lifini saran bu bölmelere endoneurium denir. Periferik siniri bir bütün olarak dıştan saran bağ dokusu kılıfa da epineurium denir.<sup>1,2,3,4,5,6,7</sup>

Kanatlılarda arka bacak sinirlerini plexus sacralis s. ischiadicus verir<sup>8,9,10,11,12</sup>. 25.-30. spinal sinirlerin ventral kollarından oluşan plexus sacralis s. ischiadicus genellikle 6 kökten meydana gelir<sup>9,10,11</sup>. Bazen 5 ya da 7 kökten de olabilir<sup>10,11</sup>. Plexus'un n. furcalis olarak isimlendirilen birinci kökü plexus lumbalis'in sonuncu kökü ile, n. bigeminus olarak isimlendirilen sonuncu kökü ise plexus pudendus'un birinci kökü ile birlikte çıkar<sup>9,10,11</sup>. Plexus sacralis'i oluşturan ramus ventralis'lerden birinci ve altıncı kökler eşit çaplı olan diğer dört kökün yarısı çapındadır<sup>10</sup>.

Plexus sacralis'i oluşturan kökler genellikle üç görevde oluşturacak şekilde birleşirler. İlk üç kök kuvvetli bir şekilde birleşerek truncus cranialis'i oluşturur. Dördüncü kök truncus medianus olarak ayrı kalır. Beşinci ve altıncı köklerin birleşmesi ile de truncus caudalis oluşur<sup>10,11</sup>.

Truncus cranialis'ten n. tibialis, truncus medianus'tan n. fibularis ve truncus caudalis'ten de uyluk bölgesinin caudal'ını innerve eden sinirler çıkarlar<sup>11</sup>.

Yapılan literatür araştırması sonucunda periferik sinirler ile ilgili mikroskopik düzeyde, memeli hayvanlar üzerinde yapılmış çeşitli çalışmaların bulunduğu saptandı<sup>13,14,15,16,17</sup>. Fakat kanatlılarda sinirlerin oluşmasında sinir demetlerinin durumlarını inceleyen herhangi bir çalışmaya rastlanılmadı.

Bu nedenle tavuklarda plexus sacralis ile bunu oluşturan ramus ventralis'leri hem makro-anatomik ve hem de subgros yönünden inceleyerek, bunları oluşturan sinir demetlerinin büyülüklük, yerleşim ve dağılımlarının saptanmasının faydalı olacağını düşüncesiyle bu çalışmayı yapmayı uygun bulduk.

## GEREÇ VE YÖNTEM

Bu çalışmada cinsiyet farkı gözetilmeksizin 14 erişkin tavuk kullanıldı. Materyalin 4'tünü % 10 formol solüsyonu ile tespit edilmiş, 10'unu ise taze hayvan oluşturmuştur. Bu hayvanların önce ramus ventralis'leri ve plexus sacralis'leri makro-anatomik olarak incelenmiştir.

Ramus ventralis'lerin makroskopik incelenmesi için lateral'den ve medial'den olmak üzere iki yöntem uygulanmıştır. Lateral'den incelemek için for. ilioischadicum ile os ilium'un praeacetabular bölümü arasında bulunan kaslar ve bunların altında yer alan kemik kısım uzaklaştırılarak ramus ventralis'ler açığa çıkarılmıştır. Ramus ventralis'lerin medial'den incelenmesi ise vücut boşluğu açılıp, iç organlar uzaklaştırıldıktan sonra gerçekleştirilmiştir.

Bundan sonra diseke edilen plexus sacralis'ler formollü hayvanlardan alınanlar iki gün, taze hayvanlardan alınanlar ise on gün % 10'luk formol solüsyonu içerisinde tespite bırakılmışlardır.

Daha sonra subgros inceleme için ramus ventralis'lerden ve plexus'un gövde kısmından keskin bir bistüri ile 2-3 mm kalınlığında enine kesitler alındı. Alınan kesitlerin kesit yüzeyleri bir pensin ucuya hafifçe su döküleerek ıslatıldı. Bunun hemen arkasından yine bir pensin yardımıyla bu kısma çini mürekkebi damlatıldı. Demetlerin boyanması için 2-3 sn kadar bekletildikten sonra kesit yüzeyleri tekrar su ile ıslatılarak fazla boyanın uzaklaştırılması sağlandı. Bu şekilde hazırlanan kesitler stereomikroskopta üstten aydınlatma ile incelendi.

Demetlerin mikrometrik ölçümleri okülere uyarlanan mikrometrik objektif yardımıyla alındı. Demetlerin büyüklükleri transversal ve longitudinal olmak üzere iki yönlü demet çapı uzunlukları ortalamasının alınması ile saptanmıştır.

Bu çalışmada Anatomı laboratuvarlarında her zaman kullanılan araç ve gereçlerin yanısıra stereomikroskoptan faydalılmıştır.

Araştırmada adı geçen latince terimlerin isimlendirilmesinde 1979 yılında yayımlanan Nomina Anatomica Avium<sup>18</sup> esas alınmıştır ve yazım dilinde akıcılığın sağlanması amacıyla sacral (S) ve plexus (P) harfi ile gösterilmiştir.

## BULGULAR

Tavuklarda plexus sacralis synsacrum bölgesinde 26.-30. spinal sinirlerin ventral kollarından oluşmakta ve böylece beş kökten meydana gelmektedir (Resim:1). Plexus sacralis'in birinci kökü plexus lumbalis'in sonuncu kökü ile sonuncu kökü ise plexus pudendus'un birinci kökü ile birlikte çıkmaktadır. Ramus ventralis'ler ile bunların çoğunlukla oluşturdukları birleşmelerin uzunluklarına ve plexus'un uzunluk ve genişliğine ait ortalama değerler Tablo I ve II'de gösterilmektedir. Bu tablolara göre sol S<sub>3</sub>, S<sub>1+2+3</sub>, S<sub>5</sub> ve plexus genişliği değerleri sağa göre, sağ S<sub>4</sub> ve plexus uzunluğu değerleri de sol tarafa göre daha fazladır. İki tarafın diğeri değerleri ise hemen hemen birdir.

Ramus ventralis'ler ile bunların oluşturdukları birleşmelerin bazı istisnalar hariç bir sinir demetinden oluşturukları saptanmış ve bu sinir demetlerinin çaplarına ait değerler Tablo III ve IV'de verilmektedir. Sağ tarafta bir 2 demetli S<sub>1</sub>, bir 2 demetli S<sub>2</sub>, iki 2 demetli S<sub>1+2</sub>, beş 2 demetli S<sub>1+2+3</sub> ve bir 2 demetli S<sub>4+5</sub> saptanmıştır. Bir

materyalde  $S_{1+2+3}$  ile iki materyalde  $S_{4+5}$  birleşmelerinin de oluşmadığı görülmüştür. Ayrıca üç 1'er demetli  $S_6$ , bir 1 demetli ve iki 2 demetli  $S_{4+5+6}$ , bir 1 demetli  $S_{5+6}$ , bir 1 demetli  $S_{3+4+5}$  ve bir 3 demetli  $S_{1+2+3+4}$  oluşu saptanmıştır.

**Tablo: I**  
**Tavuklarda Sağ Ramus Ventralis'ler İle Bunların Oluşturdukları**  
**Birleşmelerin Uzunlukları ve Plexus Sacralis'in Uzunluk ve Genişliği**

S A Ğ									
Ramus ventralis'ler ile bunların birleşmelerinin uzunluklarına ait ortalama değerler (cm)								P. sacralis'e ait ort. değerler (cm)	
$S_1$	$S_2$	$S_{1+2}$	$S_3$	$S_{1+2+3}$	$S_4$	$S_5$	$S_{4+5}$	P. uzunluk	P. genişlik
0.47	0.34	0.5	0.51	0.73	0.67	0.56	0.65	1.32	0.33

**Tablo: II**  
**Tavuklarda Sol Ramus Ventralis'ler İle Bunların Oluşturdukları**  
**Birleşmelerin Uzunlukları ve Plexus Sacralis'in Uzunluk ve Genişliği**

S O L									
Ramus ventralis'ler ile bunların birleşmelerinin uzunluklarına ait ortalama değerler (cm)								P. sacralis'e ait ort. değerler (cm)	
$S_1$	$S_2$	$S_{1+2}$	$S_3$	$S_{1+2+3}$	$S_4$	$S_5$	$S_{4+5}$	P. uzunluk	P. genişlik
0.48	0.34	0.5	0.7	0.91	0.5	0.75	0.63	1.27	0.36

Sol tarafta ise bir 2 demetli  $S_1$ , bir 2 demetli  $S_{1+2}$ , üç 3 demetli ve bir 4 demetli  $S_{1+2+3}$ 'e rastlanmıştır. İki materyalde  $S_{4+5}$  birleşmesinin meydana gelmediği ve bunların yerine birinde 4, diğerinde ise 2 demet olan  $S_{1+2+3+4}$  birleşmesinin şekillendiği tespit edilmiştir.

Yine aynı tablolara göre hem sağ ve hem de sol tarafta ortalama demet çapları bakımından en küçük değere  $S_5$  sahiptir. En büyük demet çapına da  $S_5$ 'in iki katı büyüklüğe sahip olan  $S_2$  ile  $S_3$ 'tür.  $S_1$  ile  $S_4$ 'ü oluşturan demet çapları da bu en küçük değer ile en büyük değer arasındadır.

Yine Tablo I, II, III ve IV'den de anlaşılacağı üzere ramus ventralis'lerin p. sacralis'i oluşturmak için önce ilk iki kök ( $S_1$  ve  $S_2$ ) birleşmektedir. Daha sonra buna üçüncü kök ( $S_3$ ) katılır. Son iki kök de ( $S_4$  ve  $S_5$ ) kendi aralarında birleştirikten sonra bundan önce ilk üç kökün oluşturduğu truncus'a katılarak p. sacralis'i meydana getirmektedirler (Resim: 1).

İlk iki kökten n. tibialis, üçünden n. fibularis ve son iki kökten de uyluğun caudal'ine giden kas ve deri kolları oluşur (Resim: 1/4,5,6,7,8,9, Resim: 2,3,4/c). Uyluğun proximal'inde, cranial'inde ve lateral'inde bulunan kaslara ise ilk üç kökün oluşturduğu truncus'tan yani n. ischiadicus'tançıkan ramus muscularis'ler gitmektedir (Resim: 1/1,2,3, Resim: 4/d).

**Tablo: III**  
**Sağ Ramus Ventralis'lerde ve Bunların Oluşturdukları Birleşmelerde**  
**Bulunan Demet Çapı Büyüklüğü (mm)**

	S <sub>1</sub>	S <sub>2</sub>	S <sub>1+2</sub>	S <sub>3</sub>	S <sub>1+2+3</sub>	S <sub>4</sub>	S <sub>5</sub>	S <sub>4+5</sub>
Min.	0.04	0.035	0.035	0.085	0.095	0.05	0.02	0.065
Max.	0.13	0.165	0.17	0.135	0.185	0.13	0.085	0.125
Ortalama ve Standart Hata	0.0893 0.0312	0.1114 0.0384	0.1425 0.0474	0.1107 0.0122	0.1908 0.0724	0.0886 0.0271	0.0525 0.0177	0.105 0.0387

**Tablo: IV**  
**Sol Ramus Ventralis'lerde ve Bunların Oluşturdukları Birleşmelerde**  
**Bulunan Demet Çapı Büyüklüğü (mm)**

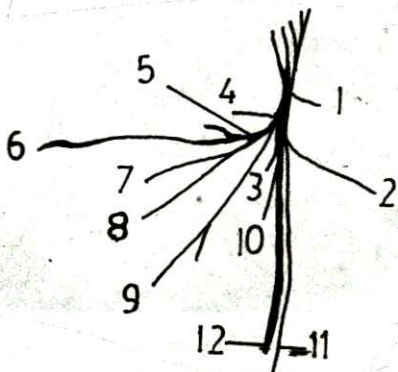
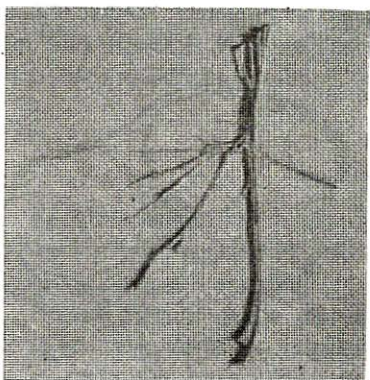
	S <sub>1</sub>	S <sub>2</sub>	S <sub>1+2</sub>	S <sub>3</sub>	S <sub>1+2+3</sub>	S <sub>4</sub>	S <sub>5</sub>	S <sub>4+5</sub>
Min.	0.02	0.06	0.02	0.09	0.04	0.06	0.025	0.06
Max.	0.13	0.165	0.205	0.135	0.195	0.125	0.105	0.15
Ortalama ve Standart Hata	0.0886 0.0270	0.1154 0.0329	0.1461 0.0503	0.1150 0.0163	0.1943 0.0554	0.0893 0.0226	0.0557 0.0198	0.1547 0.0447

**Tablo: V**  
**Plexus Sacralis'in Gövdesinin P<sub>1</sub>, P<sub>2</sub> ve P<sub>3</sub> Kesit**  
**Bölgelerinde Bulunan Demet Sayıları**

	S A Ğ			S O L		
	P <sub>1</sub>	P <sub>2</sub>	P <sub>3</sub>	P <sub>1</sub>	P <sub>2</sub>	P <sub>3</sub>
Min.	4	4	4	4	4	4
Max.	8	9	11	9	9	10
Ortalama	6	6.6	7.1	5.6	6.2	7.4

**Tablo: VI**  
**Plexus Sacralis'in Gövdesinin P<sub>1</sub>, P<sub>2</sub> ve P<sub>3</sub> Kesit**  
**Bölgelerinde Bulunan Demet Çapları Büyüklüğü (mm)**

	S A Ğ			S O L		
	P <sub>1</sub>	P <sub>2</sub>	P <sub>3</sub>	P <sub>1</sub>	P <sub>2</sub>	P <sub>3</sub>
Min.	0.02	0.02	0.015	0.02	0.02	0.015
Max.	0.135	0.15	0.15	0.16	0.14	0.14
Ortalama ve Standart Hata	0.0711 0.0369	0.0782 0.0488	0.0703 0.0373	0.0762 0.0405	0.0673 0.0304	0.0728 0.0133

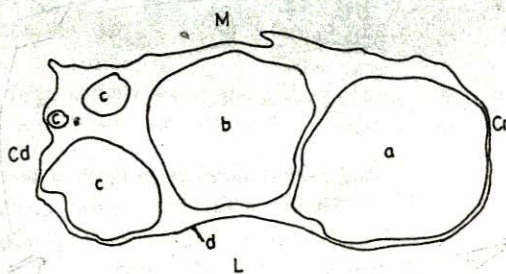


Resim: 1

Tavşun sağ plexus sacralis'inin lateral'den görünüsü.

(Right sacral plexus of chicken. Lateral aspect)

- 1- n.m. iliofemoralis externus, 2- n. m. iliobibialis, 3- n.m. iliofibularis, 4- n.m. ischiofemoralis, 5- n. coxalis caudalis, 6- connexus caudalis, 7- n. flexor cruris lateralis, 8- n. flexor cruris medialis, 9- n. cutaneus femoris caudalis, 10- n. cutaneus surae lateralis, 11- n. fibularis, 12- n. tibialis.



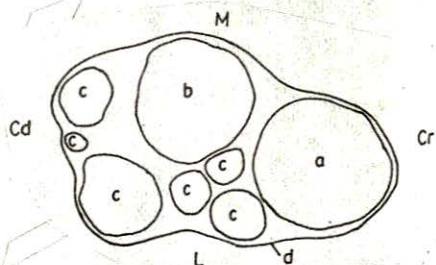
Resim: 2

Sağ plexus sacralis'in birinci kesitindeki ( $P_1$ ) sinir demetleri  $\times 20$

The nervi fasciculi in the first section of right sacral plexus

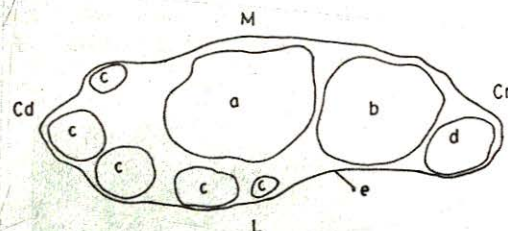
a- n. tibialis, b- n. fibularis, c- rami musculares, e- epineurium

Tablo V ve VI'da da p. sacralis'in gövdesinden arka arkaya alınan kesitlerdeki demet sayıları ve demet çapı büyülükleri verilmektedir. Tablo V'de ortalama demet sayısının  $P_3$ 'de arttığı görülmektedir. Bunun nedeni plexus'un distal'inde kollarına ayrılmışındandır. Yine bu tablolarda  $P_1$  ve  $P_3$  kesit bölgelerinde demet sayısındaki değişikliğe karşılık demet çapı ortalamasının birbirine yakın olduğu görülmektedir. Bu da plexus'un distal'ine kadar normal yapısını koruduğunu ya da başka bir deyişle plexus'tan ayrılan kolların plexus'un distal'inde, plexus'u terk ettiklerini göstermektedir.



Resim: 3

Sağ plexus sacralis'in ikinci kesitindeki ( $P_2$ ) sinir demetleri  $\times 20$   
*The nervi fasciculi in the second section of right sacral plexus*  
 a- n. tibialis, b- n. fibularis, c- rami musculares, d- epineurium



Resim: 4

Sağ plexus sacralis'in üçüncü kesitindeki ( $P_3$ ) sinir demetleri  $\times 20$   
*The nervi fasciculi in the third section of right sacral plexus*  
 a- n. tibialis, b- n. fibularis, c- rami musculares,  
 d- ramus muscularis, e- epineurium

Plexus'un  $P_1$ ,  $P_2$  ve  $P_3$  kesit bölgelerinde sinir demetlerinin durumu incelediğinde, cranial'de arka arkaya iki büyük sinir demeti ile bunların caudal'inde ve caudolateral'inde daha küçük demetlerin bulunduğu saptanmıştır (Resim: 2,3,4/a, b). İki büyük sinir demeti n. ischiadicus'u oluşturan n. tibialis ile n. fibularis'e aittir.  $P_1$ 'de de görüldüğü gibi n. tibialis ile n. fibularis daha henüz plexus'un başlangıcında iken ayrı ayrı bulunmaktadır (Resim: 2).  $P_1$  ve  $P_2$ 'de (Resim: 2, 3) cranial'de bulunan ve daha büyük olan demet n. tibialis'e, geride ve biraz daha küçük olan ise n. fibularis'e aittir. İlk iki kökten oluşan n. tibialis, plexus'un başlangıcında craniodorsal'den caudoventral'e doğru gider ve burada bunun caudomedial'inde  $S_3$ 'ten oluşan n. fibularis bulunur. Bu nedenle  $P_1$ 'de daima,  $P_2$ 'de de çoğunlukla n. tibialis'i oluşturan demet cranial'de, n. fibularis'i oluşturan da bunun caudal'inde yer alır.

Son iki kökten oluşan ve uyruğun caudal'indeki kas ve deriyi innerve eden kolları meydana getiren truncus'u oluşturan demet ya da demetler plexus'a gevşek

bir şekilde bağlıdır. Bunun  $P_1$ 'de henüz tam olarak kollara ayrılmadığı görülmüştür (Resim: 2/c). Ancak  $P_2$  ve  $P_3$ 'de yani plexus'un sonlarına doğru tam olarak kollara ayrıldığı tespit edilmiştir (Resim: 3, 4/c).

## TARTIŞMA

Kanatlılarda p. sacralis'in 25.-30. spinal sinirlerin ventral kollarındanoluştuğu ve 6 kökten meydana geldiği bildirilmektedir<sup>9,10,11</sup>. Fakat bazen 5 ya da 7 kökten de oluşabileceği ifade edilmektedir<sup>10,11</sup>.

Biz ise yaptığımız bu çalışmada p. sacralis'in tavuklarda 26.-30. spinal sinirlerin ventral kollarından oluştuğunu ve 5 kökten meydana geldiğini tespit ettim.

P. sacralis'in birinci köküün p. lumbalis'in sonuncu kökü ile, sonuncu köküün de p. pudendus'un birinci kökü ile birlikte çıktığını bildiren<sup>9,10,11</sup> de bizim bulgularımızı desteklemektedir.

P. sacralis'i oluşturan ramus ventralis'lerin çaplarının büyülüklüklerini birinci ve altıncı köklerde eşit çaplı olan diğer dört kökü yaklaşık yarısı olduğunu bildiren<sup>10</sup>dan bulgularımız farklı şekilde çıkmıştır. Bulgularımızda en küçük demet çapına  $S_5$ 'in, en büyük demet çapına  $S_2$  ile  $S_3$ 'ün sahip olduğunu,  $S_1$  ile  $S_4$ 'ün de çap büyülüklüklerinin bunların ortasında yer aldığı tespit edilmiştir.

Truncus cranialis'ten n. tibialis'in, truncus medianus'tan n. fibularis'in ve truncus caudalis'ten de uyluk bölgesinin caudal'ını innerven eden sinirlerin çıktığı bildirilmektedir<sup>11</sup>. Bizim bulgularımızda bu şevidedir. Fakat, ayrıca araştırmamızda uylugun proximal, cranial ve lateral'inde bulunan kaslara ise ilk üç kökü oluşturduğu truncus'tan yani n. ischiadicus'tan kollar gittiğini saptadık.

Daha önce ne tavuklarda ve ne de diğer kanatlı türlerinde plexus sacralis ve bunu oluşturan ramus ventralis'lerdeki sinir demetlerinin durumunu inceleyen çalışma olmaması nedeni ile bu alandaki bulgularımızı karşılaştırma yapma olanağı bulmadık.

## KAYNAKLAR

1. TECİRLİOĞLU, S.: Komparatif Veteriner Anatomi, Sinir Sistemi, Ankara Üniversitesi Basımevi, Ankara, 184 (1983).
2. NICKEL, R., SCHUMMER, A., SEIFERLE, E.: Lehrbuch der Anatomie der Haustiere, Bd. IV, Verlag Paul Parey, Berlin und Hamburg, 21 (1975).
3. ACKERKNECHT, E.B.: Das Nervensystem, Ellenberger/Baum's Handbuch der Vergleichenden Anatomie der Haustiere, 18. Auflage, Springer-Verlag, Berlin, Heidelberg, New York, 810 (1977).
4. ÇİMEN, A.: Anatomi, U.Ü. Basımevi, 443-607 (1987).
5. ODAR, İ.V.: Anatomi Ders Kitabı, Birinci Cilt, 12. Baskı, 288 (1978).
6. KALAYCI, Ş.: Histoloji, U.Ü. Yayınları, Yayın No: 2-034-0130, U.Ü. Basımevi, 205 (1986).
7. DERE, F.: Nöroanatomı ve Fonksiyonel Nöroloji, Adana, 23 (1990).
8. GRAU, H.: Anatomie der Hausvögel, Ellenberger / Baum's Handbuch der Vergleichenden Anatomie der Haustiere, 18. Auflage, Springer-Verlag, Berlin, Heidelberg, New York, 1117 (1977).

9. SCHUMMER, A.: Anatomie der Hausvögel, Bd. V, R. Nickel, A. Schummer, E. Seiferle, Lehrbuch der Anatomie der Haustiere, Verlag Paul Parey, Berlin und Hamburg, 140-141 (1973).
10. BAUMEL, J.J.: Aves Nervous System, Sisson and Grossman's The Anatomy of the Domestic Animals, Vol 2, Fifth Edition, W.B. Saunders Company, Philadelphia, London, Toronto, 2019-2062 (1975).
11. SCHWARZE, E., SCHRÖDER, L.: Kompendium der Geflügelanatomie, Gustav Fisher Verlag, Stuttgart, New York, 223 (1979).
12. PREUSS, F., DONAT, K.: Anleitung zur Ganztierpräparation des Huhnes, Berlin, 46 (1973).
13. WHEELER, S.S., PLUMMER, J.M.: Age-related changes in the fibre composition of equine peripheral nerve. *J. of the Neurological Sci.*, 90 (1), 53-56 (1989).
14. WHEELER, S.S.: Quantitative and qualitative morphology of equine peripheral nerve teased fibre studies, *Research in Veterinary Sci.*, 48(2), 145-151 (1990).
15. ILLANES, O., HENRY, S., SKERTIT, I.T.: Light and electron microscopy studies of the ulnar, saphenus and caudal cutaneus sural nerve of the dog. *Am. J. of Anatomy*, 187 (2), 158-167 (1990).
16. YILMAZ, O., BAHADIR, A., SERBEST, A., YILDIZ, B.: Aynı Yaşı Simental Boğaların Plexus Ischiadicus ve Nervus Pudendus'larının Oluşumuna Katılan Ramus Ventralis'lerdeki Sinir Demetlerinin Morfolojik ve Morfometrik İncelenmesi, U.Ü. Veteriner Fakültesi Dergisi 2 (12) 1-13, (1993).
17. BRAUND, K.G., STEISSL, J.E., MARSHALL, A.E.: Morphological and Morphometric studies of the vagus and recurrent laryngeal nerves in clinically adult dogs, *Am. J. Vet. Res.* 49 (12), 2111-2116 (1988).
18. BAUMEL, J.J., KING, A.S., LUCAS, A.M., BREAZILE, J.E., EVANS, H.E.: *Nomina Anatomica Avium*, Academic Press, London, New York, Toronto, Sydney, San Francisco (1979).